

تحلیل تجربی تأثیرات نزدیکی کرنش بر رفتار سازه‌های بتنی در بارگذاری‌های حاصل از موج انفجار و معرفی یک مدل ریاضی جدید رفتاری بتن

جمال زمانی (دانشیار)

دانشکده فنی و مهندسی، گروه مهندسی مکانیک، دانشگاه صنعتی خواجه نصیرالدین طوسی

امیر رفاهی اسکوئی (دانشجوی دکتری)

دانشکده فنی و مهندسی مکانیک، دانشگاه صنعتی آهونگ

رفتار سازه‌های بتنی، تحت شرایط بارگذاری دینامیکی و شبه استاتیکی، متفاوت‌اند. در این پژوهش رفتار دینامیکی بتن در برابر نزدیکی کرنش‌های بالا، به صورت تجربی و با استفاده از بارگذاری انفجاری بررسی، و نتایج حاصله با داده‌های نظری مقایسه شده است. ماده‌ی منفجره در جرم‌ها و ارتفاع‌های مختلف از بلورهای بتنی - که به صورت تیر ساده‌اند - قرار داده شده‌اند. با در دست داشتن خواص استاتیکی بتن و میزان فشار ناشی از انفجار، افزایش ظرفیت تحمل بار در حالت دینامیکی به دست می‌آید. در این آزمایش‌ها معیار تغزیب ایجاد ترک در منطقه‌ی کشنشی تیر در نظر گرفته شده است. نتایج حاصله حاکی از افزایش ضریب دینامیکی (ظرفیت تحمل بار) بین $4/5$ تا 6 برابر نزدیکی کرنش‌های $1-668$ است. این نتایج با نتایج نظری و کارهای انجام شده قابل مطابقت دارد. در پایان، با استفاده از نرم‌افزار آماری Minitab و با استفاده از شیوه‌ی طراحی آزمایش‌ها^۱ (DOE)، یک مدل ریاضی نیمه‌تجربی برای رفتار بتن تحت بارگذاری معرفی شده است.

وازگان کلیدی: نزدیکی کرنش، بارگذاری انفجاری، سازه‌های بتنی، ضریب افزایش دینامیکی، رفتار دینامیکی.

۱. مقدمه

در تعیین کارایی سازه‌ها بازی می‌کند. به منظور دست‌یابی به مدل‌های کاربردی برای شبیه‌سازی و پیش‌گویی عکس‌العمل چنین سازه‌هایی، انجام پاره‌ی آزمایش‌های عملی تحت شرایط مختلف و نیز شناسایی رفتار مواد طی مراحل مختلف تغییر شکل ضرورت دارد.

در سال ۲۰۰۰ تأثیر نزدیکی کرنش بر استحکام کشنشی بتن با انجام آزمایش گسیختگی آن با روش بزرگی انجام شد^[۱] که مقادیر حاصله از آزمایش‌های عملی با مقادیر حاصل از شبیه‌سازی توسط نرم‌افزار اجزاء محدود ADINA مطابقت داشته و نتایج حاصله بیان‌گر افزایش قابل ملاحظه‌ی استحکام کشنشی ماده بوده است. رفتار دینامیکی بتن بستگی دارد به نزدیکی کرنش تحت شرایط مختلف^[۲] که محدوده‌های مختلف آن باستفاده از وسایل و بارگذاری‌های گوناگون مورد مطالعه قرار گرفته است. مثلاً تعریف ضریب افزایش دینامیکی - نسبت استحکام دینامیکی به استحکام استاتیکی در نزدیکی کرنش‌های بالا - مقدار این کمیت را برای حالت فشاری بیشتر از 4 ، و برای حالت کشنشی بیشتر از 6 بدست آورده‌اند.^[۲] در فرمول بندی CEB-FIP^[۲] تأثیر نزدیکی کرنش بر استحکام فشاری و کشنشی به طور جداگانه ارائه شده است. براساس آزمایش‌های انجام شده برای میزان افزایش استحکام در نزدیکی کرنش‌های بین $1-1000s^{-1}$ و $100s^{-1}$ ، ضریب افزایش استحکام دینامیکی در نزدیکی

بررسی عکس‌العمل سازه‌های بتنی در برابر بارگذاری دینامیکی مورد توجه بسیاری از افراد در زمینه‌های مختلف نظامی و عمرانی است. پی‌بردن به عکس‌العمل سازه‌های بتنی در برابر بارگذاری حاصل از انفجار یا ضربه، برای نیل به تخریبی موفقیت آمیز، یا محافظت از سازه‌های مهم راهبردی و نظامی حائز اهمیت است. بارگذاری دینامیکی روی سازه‌های بتنی از پدیده‌هایی مثل زلزله یا امواج حاصل از دریاها و اقیانوس‌ها سرچشمه می‌گیرند که قابل توجه جدی هستند. شناسایی رفتار مواد بتنی تحت ضربه‌های ناشی از انفجار یا پدیده‌های طبیعی شرط لازم برای طراحی و تحلیل این سازه‌ها به شمار می‌رود.

وقتی که سازه‌ی بتنی تحت بارگذاری دینامیکی قرار می‌گیرد پدیده‌ی ترک خوردگی، شکست، ترکش یا پودرشدن سازه اتفاق می‌افتد. تمامی این فرآیندها می‌توانند به عکس‌العمل اولیه در محدوده‌ی کشنشانی ماده، جریان خمیری، تشکیل ترک‌های ریز و درشت، خردشدن به تکه‌های کوچک و در نهایت به دانه‌دانه شدن یا پودرشدن سازه منجر شوند. عموماً قابلیت تحمل بار و انرژی جذب شده توسط سازه دستخوش بیان یک فرضیه یا تغییر شکل‌هایی در طول فرایند است. این فرضیه نقش مهمی

حجمی توده‌سنگ ریزدانه در بتن 66 درصد است. نتایج حاصل از آزمایش‌های استاتیکی در جدول ۱ آورده شده است.

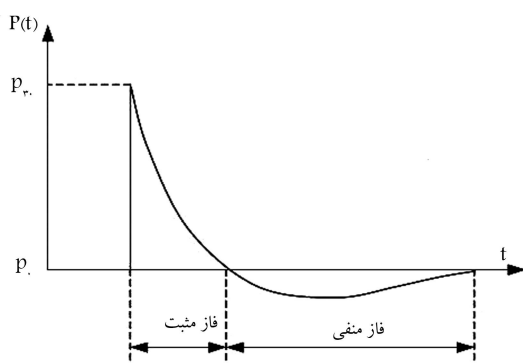
۳. بارگذاری انفجاری

عموماً اثرات ناشی از انفجار یک ماده‌ی منفجره با استفاده از دو عامل اصلی بیان می‌شود:^[۱۰] ۱. اندازه‌ی ماده‌ی منفجره یا (جرم ماده‌ی منفجره) که معمولاً با معادل سازی نسبت به ماده‌ی منفجره استاندارد مانند TNT قابل بیان است؛ ۲. فاصله‌ی بین ماده‌ی منفجره تا هدف. در اثر انفجار مقدار مشخصی از ماده‌ی منفجره در زدیکی‌های زمین، مقدار قابل توجهی گاز با فشار بالا پدید می‌آید و باعث تغییراتی در محیط اطراف محل انفجار می‌شود که بالارفتن دما و فشار به طور ناگهانی از جمله‌ی آثار آن است. با گذشت زمانی اندک، در فاصله‌ی مشخصی از محل انفجار فشار آن محل به طور ناگهانی بالا می‌رود تا این که به نقطه‌ی اوج خود برسد. سپس رفته فشار میرا شده و به فشار محیط، و حتی پایین تراز آن، نزول می‌کند. در شکل ۱ منحنی شماتیک فشار - زمان نشان داده شده، که در آن نزول فشار به فشار محیط به صورت یک منحنی نمایی قابل بیان است.

در این منحنی، منطقه‌ی را که در آن فشار بالا می‌رود و بعد به فشار محیط نزول می‌کند، منطقه‌ی فاز مثبت در نظر می‌گیرند؛ همچنین منطقه‌ی که در آن فشار به پایین تراز فشار محیط رسیده - و باعث ایجاد فشاری در راستای مخالف انتشار جبهه‌ی موج اولیه (فشار مکش) می‌شود - و سپس به فشار محیط بازمی‌گردد، منطقه‌ی فاز منفی می‌نماید. در انفجار از قانونی به نام فاصله‌ی درجه‌بندی شده^۲ استفاده می‌کنند^[۱۰]، که برای پیدا کردن سایر پارامترها از این مقادیر استفاده می‌شود. روش معمول مقیاس‌گذاری انفجار روش هاپکینسون - کرانز یا ریشه سوم است که ابتدا توسط هاپکینسون در سال ۱۹۱۵، و سپس توسعه کرانز در سال

جدول ۱. خواص مکانیکی طرح اختلاط‌های مختلف از بتن.

| مدول کشسانی (GPa) | مقاومت گشتشی (MPa) | مقاومت فشاری (MPa) | طرح اختلاط بتن |
|-------------------|--------------------|--------------------|----------------|
| ۳۳ | ۳,۶ | ۴۵ | A |
| ۳۶ | ۴ | ۵۳ | B |
| ۳۹ | ۴,۹۲ | ۶۱ | C |
| ۴۰ | ۵,۱ | ۶۶ | D |
| ۴۲ | ۵,۲۹ | ۷۱ | E |



شکل ۱. پارامترهای منحنی فشار - زمان حاصل از انفجار.^[۱۰]

کرنش‌های بیان شده و در وضعیت بارگذاری فشاری برابر 4 و در وضعیت کششی برابر 6 است.^[۱۱] همچنین حالت شکست سازه از شکست خمشی در بارگذاری استاتیکی به شکست برشی یا ترکیبی از دو حالت نام بده شده، تغییر می‌کند.

در سال ۲۰۰۳، مدل سازی تأثیر نزخ کرنش برای حالت‌های بارگذاری دینامیکی فشاری و کششی مطرح شد که اساس کار این حوزه مبتنی بر اثر جفت‌شوندگی بین دو مدل به نام‌های مدل ترک‌ها و مدل خمیرسانی بوده است.^[۱۲]

همچنین در سال ۲۰۰۴، محققین تحقیقاتی درخصوص تأثیر سرعت بارگذاری بر ترک‌های ایجاد شده در بتن انجام داده‌اند که طی آن افزایش استحکام دینامیکی بتن در اثر ایجاد ضربه محاسبه شده است.^[۱۳] در سال ۲۰۰۴، رفتار بتن در برابر بارگذاری دینامیکی انفجاری مورد مطالعه قرار گرفت که طی این تحقیق مقادیر استحکام دینامیکی و سایر خواص وابسته به نزخ کرنش در بتن مدل سازی شده است.^[۱۴] این مدل براساس مکانیک شکست پیوسته و همچنین رشد ترک‌ها، و با تعریف پارامتر کتی D حاصل شده است. در همین سال، رفتار بتن در برابر نزخ کرنش‌های بالا و تأثیر آن بر استحکام کششی مورد مطالعه قرار گرفت.^[۱۵] مدل ارائه شده برای راه‌اندازی کد مورد نظر مبتنی بر مدل ویسکوپلاستیک بود و در آن افزایش مقادیر استحکام کششی دینامیکی نسبت به استحکام کششی استاتیکی به طور کامل نشان داده شد. همچنین حساسیت مدل استحکام کششی (در مقایسه با استحکام فشاری) نسبت به نزخ کرنش بیان شده است.

در سال ۲۰۰۶ نیز اندازه‌گیری استحکام کششی بتن همراه با مقدار انرژی مورد نیاز برای شکست انجام شد^[۱۶] که نتایج به دست آمده برای مقادیر استحکام کششی در حالت دینامیکی با مقادیر حاصله از دیگر تحقیقات - از جمله تحقیقات لامبرت و رز - همواره دارد.

یکی از عوامل تأثیرگذار بر رفتار ماده تحت شرایط دینامیکی «حساسیت به نزخ کرنش» است. با وجود کارهای انجام شده که اکثر مدل‌سازی تأثیر نزخ بارگذاری بر روی سازه‌های بتُنی بوده است، هنوز کارهای عملی و میدانی گستردگی در جوامع علمی و در راستای تأثیر نزخ کرنش حاصل از انفجار بر روی سازه‌های بتُنی صورت نگرفته است. برای رسیدن به یک شناخت واقعی و عملی از سازه‌های بتُنی در برابر بارگذاری ضربه‌یی یا انفجاری، در اختیار داشتن اطلاعات تجربی برای پیاده‌سازی مدل‌های تحلیلی ضرورت دارد. در این تحقیق با استفاده از انفجار ماده‌ی منفجره و فشار ناشی از آن بر روی بلوكه‌های بتُنی که به صورت یک تیر ساده بر روی تکیه‌گاه‌های قابل تنظیم قرار گرفته‌اند، میزان استحکام کششی بتن با بهره‌گیری از روابط نظری به دست آمده و با نتایج حاصل از آزمایش استاتیکی مقایسه می‌شود. نسبت این دو استحکام نشان‌گر ضربی افزایش دینامیکی در حالت عملی خواهد بود. با در دست داشتن ضربی افزایش دینامیکی و نیز با محاسبه‌ی میزان نزخ کرنش، به مقایسه‌ی نتایج تجربی با نتایج مشابه که از بارگذاری دینامیکی بتُن با روش‌های غیرانفجاری به دست آمده، خواهیم پرداخت.

۲. مواد بتنی

طرح اختلاط در بتن تهیه شده از توده‌سنگی ریزدانه است که از الک $9/5\text{ mm}$ عبور نموده شده است، به طوری که تمامی آن از الک نمره 4 عبور کرده و روی الک نمره 200 باقی می‌ماند. سیمان مصرفی از نوع II بوده که مقدار آن در اختلاط تهیه شده بین 550 Kg/m^3 تا 650 Kg/m^3 است. آب مصرفی با استفاده از فوق روان‌کننده‌ی نسل جدید Tricosal SF^{۳۴} آلمان، 2 درصد وزن سیمان است. کسر

در جدول ۲ نحوه انجام هر آزمایش آورده شده است. برای انفجار، موچ ناشی از انفجار به طرف سازه بتنی حرکت، و به آن برخورد می‌کند و موجب اعمال فشار بالایی به بتن می‌شود. این فشار در یک فاصله زمانی در حد میکروثانیه به بتن اعمال می‌شود. معیار اندازه‌گیری در این آزمایش‌ها ایجاد ترک در سطح پایینی بتن، یا همان بخش کشنی سازه است. ماده‌ی منفجره درست در مرکز سطح بلوكه‌ی بتنی قرار داده می‌شود. ابتدا آزمایش‌های اولیه برای به دست آوردن محدوده‌ی عملکرد سازه در برابر جرم و ارتفاع‌های مختلف ماده منفجره انجام می‌شود. در آزمایش اول ماده‌ی منفجره‌ی به جرم 100 g و در ارتفاع 30 cm سانتی‌متری قرار داده شد؛ که برای انفجار ماده‌ی بتنی به قطعات خیلی ریز تبدیل شد. در آزمایش‌های بعدی، جرم ماده از 100 g به 30 g کاهش یافت و در ارتفاع 15 cm سانتی‌متری انفجار صورت گرفت (دهانه‌ی ترک در حدود 7 mm میلی‌متر بوده است). بقیه‌ی آزمایش‌ها با توجه به استحکام کشنی سازه طبق جدول ۲ انجام شد. تمامی مقادیر ارائه شده در این جدول برای حالتی معتبر است که طبق معیار گفته شده در بالا، ترک ریز در منطقه‌ی کشنی بتن ایجاد شود. به علت نزدیک بودن استحکام کشنی بلوكه‌های بتنی نسبت به هم تقریباً تمامی آنها تحت فاصله‌ی درجه‌بندی شده یکسان ترک بر می‌دارند.

نتایج حاصل از سری اول آزمایش‌های انجام شده، بر روی تنوعی از بتن در جدول ۳ مشاهده می‌شود. برای به دست آوردن نتایج قابل قبول در این آزمایش‌ها،

جدول ۳. آزمایش‌های مربوط به سری اول.

| شماره آزمایش | فاصله تکیه‌گاهها (m) | فشار اوج P (MPa) | Z (m/Kg ^{1/3}) | فاصله ماده منفجره (m) | ماده منفجره (Kg) | ملاحظات |
|--------------|----------------------|------------------|--------------------------|-----------------------|------------------|-----------|
| A-۴-۱ | ۰,۲۴۵ | ۳ | ۰,۵۸ | ۰,۲ | ۰,۰۳ | Cr. |
| A-۴-۲ | ۰,۲۴۵ | ۲,۷۸ | ۰,۶ | ۰,۲۱ | ۰,۰۳ | Not Cr. |
| A-۴-۳ | ۰,۲۴۵ | ۲,۲۸ | ۰,۵۵ | ۰,۱۹ | ۰,۰۳ | Cr. |
| A-۳,۰-۱ | Back Support | ۳ | ۰,۵۸ | ۰,۲ | ۰,۰۳ | Not Cr. |
| B-۵-۱ | ۰,۲۴۵ | ۵,۱۲ | ۰,۴۳ | ۰,۱۵ | ۰,۰۳ | Cr. |
| B-۵-۲ | Back Support | ۵ | ۰,۴۳ | ۰,۱۵ | ۰,۰۳ | Not Cr. |
| B-۵-۳ | Back support | ۱۰ | ۰,۲۹ | ۰,۱ | ۰,۰۳ | Not Cr. |
| B-۵-۴ | Back Support | ۱۱ | ۰,۲۶ | ۰,۱ | ۰,۰۴ | Cr. |
| C-۴-۱ | ۰,۲۴۵ | ۳,۹ | ۰,۵۰ | ۰,۱۷ | ۰,۰۳ | Not Cr. |
| C-۴-۲ | ۰,۲۴۵ | ۳,۵ | ۰,۵۲ | ۰,۱۸ | ۰,۰۳ | Cr. |
| C-۴-۳ | ۰,۱۵ | ۱۱ | ۰,۲۶ | ۰,۰۹ | ۰,۰۳ | Not Cr. |
| C-۴-۴ | ۰,۱۵ | ۱۰ | ۰,۲۹ | ۰,۱۰ | ۰,۰۳ | Cr. |
| D-۲-۱ | ۰,۲۴۵ | ۳ | ۰,۵۸ | ۰,۳ | ۰,۱ | Destroyed |
| D-۴-۱ | ۰,۲۴۵ | ۳,۹ | ۰,۵۰ | ۰,۱۷ | ۰,۰۳ | Cr. |
| D-۵-۱ | ۰,۱۵ | ۱۵,۵ | ۰,۲۰ | ۰,۰۷ | ۰,۰۳ | Not Cr. |
| D-۵-۲ | ۰,۱۵ | ۱۴,۵ | ۰,۲۱ | ۰,۰۷۵ | ۰,۰۳ | Cr. |
| E-۵-۱ | ۰,۲۴۵ | ۶ | ۰,۳۷ | ۰,۱۳ | ۰,۰۲ | Not Cr. |
| E-۵-۲ | ۰,۲۴۵ | ۷,۱ | ۰,۳۵ | ۰,۱۲ | ۰,۰۳ | Cr. |
| E-۵-۳ | ۰,۲۴۵ | ۵,۷۵ | ۰,۴۰ | ۰,۱۴ | ۰,۰۳ | Cr. |
| E-۴-۱ | ۰,۱ | ۵ | ۰,۴۳ | ۰,۱۵ | ۰,۰۳ | Not Cr. |
| E-۳-۱ | Back Support | ۱۰ | ۰,۲۹ | ۰,۱ | ۰,۰۳ | Cr. |

Destroyed = میلاشی شده. Not Cr. = بدون ترک. Cr. = ترک خورده.

۱۹۲۶ فرمول بندی شد. براساس این قانون امواج مشابه هم، در فواصل مقیاس‌گذاری شده‌ی مشابه، وقتی بموجود می‌ایند که دو شارز انفجاری با هندسه و جنس مشابه - اما با اندازه‌های مختلف - در شرایط یکسان منفجر شوند. در این روش از پارامتر ابعادی $R/W^{1/2} = z$ به عنوان فاصله‌ی درجه‌بندی شده استفاده می‌شود که در آن R فاصله‌ی مرکز ماده‌ی منفجره تا سازه‌ی هدف برحسب متر، و W وزن ماده‌ی منفجره برحسب کیلوگرم است. مقدار فشار و ضربه‌ی آزادشده از انفجار برروی سازه باستفاده از فرمول‌های تجربی قابل محاسبه است که تمامی این فرمول‌ها براساس قانون فاصله‌ی درجه‌بندی شده به دست آمداند. رابطه‌ی فشار بیشینه‌ی انفجار در فاصله‌یی مشخص از رابطه‌ی 1 به دست می‌آید:

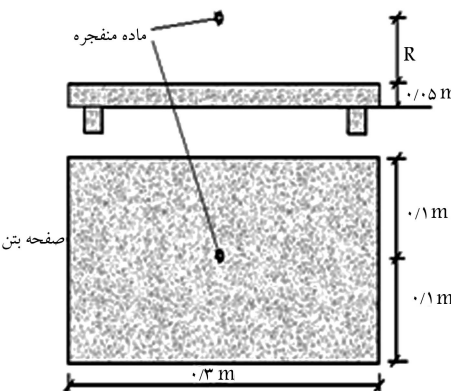
$$P^o/P_a = \frac{808 \left[1 + \left(\frac{Z}{2,5} \right)^2 \right]}{\sqrt{1 + \left(\frac{Z}{0,048} \right)^2} \sqrt{1 + \left(\frac{Z}{0,32} \right)^2} \sqrt{1 + \left(\frac{Z}{1,75} \right)^2}} \quad (1)$$

که در آن P^o فشار انفجار، و P_a فشار اتمسفر است.

۴. طراحی آزمایش‌ها

برای رسیدن به رفتار دینامیکی سازه در برابر نزد کرنش‌های بالا، تعدادی آزمایش انفجار تحت شرایط معینی انجام می‌شود. نمونه‌های بتنی در 5 اختلاط و در ابعاد $300 \times 200 \times 50\text{ mm}^3$ بر روی یک پایه‌ی فلزی (شکل ۲) به صورت تیر ساده تحت آزمایش انفجار قرار داده می‌شود. در شکل ۲ نمونه‌ی از قرارگیری ماده‌ی منفجره نسبت به بلوكه‌ی بتنی ارائه شده است.

ماده منفجره از جنس C4 معادل $1/37$ TNT برابر شکل ۲ دارای شکل کروی و از جرم‌های ۳۰ t تا ۱۰۰ t گرمی در ارتفاع ۱۰ m تا ۳۰ m سانتی‌متری قرار داده می‌شود.



شکل ۲. شماتی بلوكه‌ی بتنی بر روی تکیه‌گاه‌های ساده.

جدول ۲. نحوه انجام آزمایش‌های بر روی بتن.

| طرح اختلاط بتن | جرم ماده منفجره | فاصله از سطح بتن |
|----------------|-----------------|------------------|
| (m) | (Kg) | |
| ۰,۱۴۵ | ۰,۰۳ | A |
| ۰,۱۵ | ۰,۰۳ | B |
| ۰,۱۲ | ۰,۰۳ | C |
| ۰,۱۲۵ | ۰,۰۳ | D |
| ۰,۱۲ | ۰,۰۳ | E |

عبارت خواهد بود از:

$$R_A = \frac{1}{2} \int_0^L \frac{2P_{\max}}{L} \cdot \frac{B}{L} x^2 dx \quad (2)$$

$$M_x = R_A \cdot \frac{L}{2} - \left(\int_0^{L/2} \frac{2P_{\max}}{L} \cdot \frac{B}{L} x^2 dx \right) \cdot \frac{2}{3} \frac{L}{2} \quad (3)$$

که در آن M_x گشتاور در فاصله x از سمت چپ تیر، B طول تیر، L عرض تیر، R_A عکس العمل تکیگاه، و x فاصله برش خورده برای جادکردن عضو است. با جایگزینی:

$$L = 0,3 \text{ m}$$

$$B = 0,2 \text{ m}$$

$$x = 0,15 \text{ m}$$

در روابط ۲ و ۳ مقادیر R_A و M_x چنین به دست می‌آیند:

$$R_A = 5 \times 10^{-3} \cdot P_{\max} \quad (4)$$

$$M_x = 0,25 \times 10^{-3} \cdot P_{\max} \quad (5)$$

برای به دست آوردن بیشینه‌ی تنفس کششی در سطح مقطع تیر نیز از رابطه ۶ استفاده می‌کنیم:

$$\sigma = \frac{M_x C}{I} \quad (6)$$

که در آن C بیشینه‌ی ارتفاع از محور خنثای سطح مقطع تیر، I گشتاور دوم سطح مقطع تیر حول محور خنثی است. در تیر مورد نظر $\frac{h}{4}$ نصف ضخامت تیر را تشکیل می‌دهد. همچنین $I = \frac{B \cdot h^3}{12}$ که h ضخامت تیر است. با جایگذاری این مقادیر در رابطه ۶ خواهیم داشت:

$$\sigma = \frac{6 \times 0,25 \times 10^{-3} \cdot P_{\max}}{0,2 \times h^2} = 7,5 \times 10^{-3} \cdot \frac{P_{\max}}{h^2} \quad (7)$$

ضخامت تیر در این آزمایش‌ها ثابت و برابر با $0,05$ متر است. اکنون با دسترسی به روابط فوق می‌توان مقدار بار مورد نیاز برای ترک خوردن تیر در منطقه‌ی کششی را محاسبه کرد. اگر $\sigma = 4 MPa$ باشد آنگاه $1 MPa \approx P_{\max}$. از سوی دیگر، فشار بیشینه‌ی حاصل از آزمایش دینامیکی برای ترک برداشتن بتن (۵) معادل $P_{\max Dyn.}$ می‌باشد. از تقسیم بار دینامیکی به بار استاتیکی، ضریب افزایش دینامیکی DIF حاصل می‌شود^[۱] و داریم:

$$DIF = \frac{5/12}{1} = 5/12$$

با استناد به فرمول بندی ارائه شده توسط محققین^[۱]، نزد کرنش از رابطه ۸ محاسبه می‌شود:

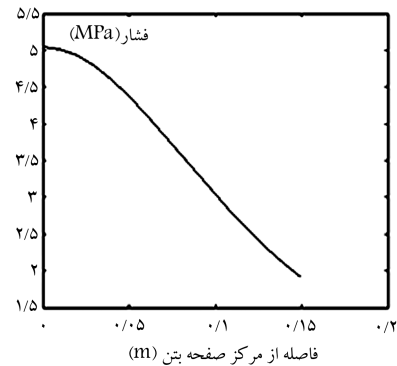
$$DIF = f_t / f_{ts} = \beta \left(\frac{\dot{\epsilon}}{\dot{\epsilon}_s} \right)^{1/3} \quad (8)$$

که در آن f_t استحکام کششی دینامیکی در نزد کرنش $\dot{\epsilon}$ ، f_{ts} استحکام کششی استاتیکی در نزد کرنش $\dot{\epsilon}_s$ ، f_t / f_{ts} ضریب افزایش دینامیکی استحکام کششی،

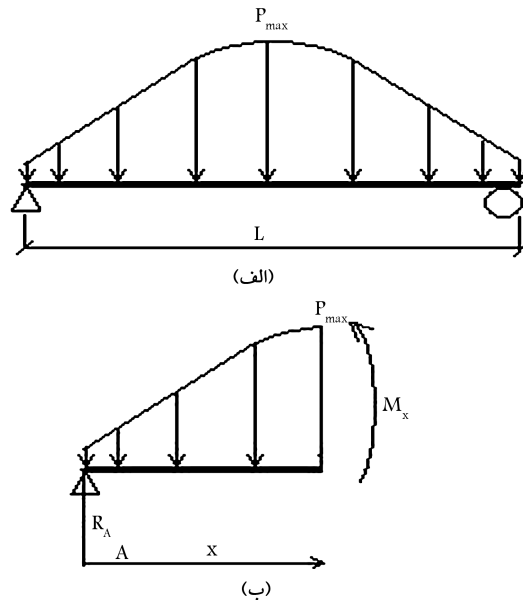
استفاده از روابط استاتیکی و مقاومت مصالحی تیرها لازم است. هدف از این کار به دست آوردن مقدار فشار لازم برای تخریب سازه در حالت استاتیکی و مقایسه‌ی آن با فشار دینامیکی حاصل از انفجار است و نتیجه‌ی آن پیدا کردن مقدار عددی ضریب افزایش دینامیکی در حالت کششی است.

فشار ناشی از انفجار مطابق منحنی ارائه شده در شکل ۳ بر روی سازه بتنی اعمال می‌شود که نتیجه‌ی آن معادله ۱ است، و برای فرایند انفجار به موقع می‌پیوند. با داشتن این منحنی و اعمال آن بر روی سازه بتنی که مثل تیر با تکیگاه ساده در نظر گرفته شده است، می‌توان مقدار استحکام کششی در حالت بارگذاری دینامیکی را معادل σ_{tdyn} تعیین کرد. از طرف دیگر اندازه‌ی استحکام کششی در حالت استاتیکی بتن معلوم است، و بنابراین با پیدا کردن نسبت استحکام کششی دینامیکی به استحکام کششی استاتیکی ضریب افزایش دینامیکی به دست می‌آید.

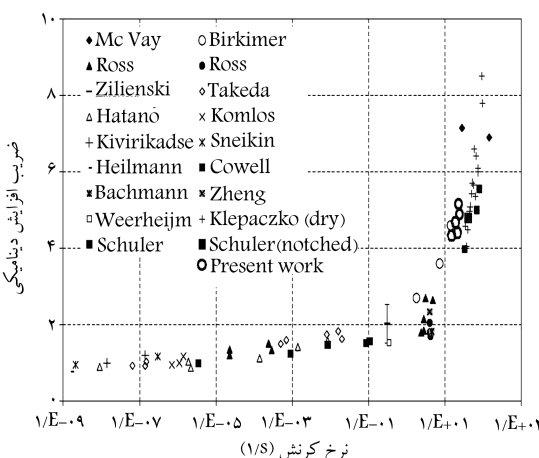
فرض می‌کنیم که فشار نامشخص P_{\max} ، مانند منحنی شکل ۴ الف به صورت استاتیکی به سازه بتنی اعمال می‌شود. با توجه به معلوم بودن اندازه‌ی استحکام کششی، می‌توان مقدار بیشینه‌ی فشار لازم برای تخریب سازه را به دست آورد. با توجه به شکل ۴ ب، و با نوشتن روابط استاتیکی برای تیر اندازه‌ی گشتاور بیشینه



شکل ۳. نمونه‌ی از منحنی فشار انفجار بر حسب فاصله از مرکز سازه بتنی در جهت ضلع بزرگ.



شکل ۴. شماتیک از بارگذاری استاتیکی بر روی سازه بتنی.



شکل ۵. مقایسه‌ی ضریب افزایش دینامیکی حاصل از آزمایش‌های انجام شده با نتایج کارهای قبلی.

۶. نحوه‌ی ارائه‌ی مدل ریاضی براساس داده‌های آزمایش‌های انجام شده

روش طراحی آزمایشات (DOE)، مشتمل بر شیوه‌های آماری است که در آن تعدادی آزمایش با شرایط تعیین شده در فرایند طراحی انجام می‌شود و درنتیجه مناسب‌ترین ورودی‌های فرایند، در راستای به دست آوردن خروجی مورد نظر تنظیم می‌شود. برای به دست آوردن و تنظیم پارامترهای مهم و تنظیم ضرایب مرتبط با فشار واردہ بر سازه از نسخه ۱۳ نرم‌افزار آماری Minitab ver. ۱۳ استفاده شد و در نهایت مدل رگرسیون خطی برای فاصله‌ی مقیاس‌بندی شده ارائه شد. برای ارائه یک مدل رفتاری، مجموعه‌ی بیشتری از داده‌ها مورد نیاز است، ولذا آزمایش‌های مجزا طراحی و انجام شد.

آزمایش‌ها سری دوم به دو گروه تقسیم شده‌اند. گروه اول آزمایش‌ها برای تحلیل با نرم‌افزار آماری MINITAB، با استفاده از روش طراحی آزمایش‌ها طراحی شد و حاصل تحلیل آن یک مدل آماری براساس ورودهای داده شده به نرم‌افزار بود. در گام بعدی، گروه دوم آزمایش‌ها برای پی‌بردن به صحت مدل ارائه شده توسط نرم‌افزار MINITAB انجام شد. در جداول ۵ و ۶ آزمایش‌های مربوط به گروه اول و گروه دوم از سری دوم آزمایش‌ها آورده شده است.

۷. نتایج و بحث

۷.۱. تحلیل نتایج حاصل از نرم‌افزار MINITAB در آزمایش‌های سری اول

از آجا که آزمایش‌های سری اول به‌منظور به دست آوردن محدوده‌ی عملکرد ماده‌ی منفجره در فاصله‌های مشخص انجام شده بود، طراحی آنها براساس اصل طراحی آزمایش‌ها صورت نگرفته بود، و لذا باید داده‌ها طبق روش طراحی نشده‌ی آزمایش‌ها مورد تجزیه و تحلیل قرار گیرند. پارامترهای ورودی در این آزمایش‌ها - تنش کششی سازه‌ی پتنی (σ)، ضخامت (t) و فاصله‌ی تکیه‌گاه‌ها (S) - در برابر پارامتر خروجی به نام فاصله‌ی مقیاس‌بندی شده (z) مورد تحلیل قرار گرفته‌اند. نتایج تحلیل‌ها در جدول ۷ ارائه شده است. معادله‌ی حاصل از تحلیل‌های انجام شده توسط نرم‌افزار

جدول ۴. مقایسه‌ی نتایج استاتیکی و دینامیکی.

| طرح اختلاط بتن | فشار استاتیکی | Z | فشار انفجار | نخ کرنش | DIF |
|----------------|---------------|----------------|------------------|---------------------------|------------------------|
| A | $P_s (MPa)$ | $(m/kg)^{1/2}$ | $P_{dyn.} (MPa)$ | $\dot{\epsilon} (s^{-1})$ | $\frac{P_{dyn.}}{P_s}$ |
| B | ۱ | ۰,۴۲ | ۵,۲۸ | ۸۰ | ۵,۵ |
| C | ۱,۲ | ۰,۴۳ | ۵,۱۲ | ۶۴,۸ | ۵,۱۲ |
| D | ۱,۳ | ۰,۴۸ | ۶,۱۶ | ۶۵,۲ | ۵,۱۳ |
| E | ۱,۴۱ | ۰,۴۵ | ۶,۷ | ۶۶ | ۵,۱۵ |

نمخ کرنش در محدوده‌ی 10^{-6} s^{-1} تا 10^{-4} s^{-1} و نخ کرنش استاتیکی است.

$$10^{-6} \text{ s}^{-1}$$

$$\log \beta = 68 - 2$$

$$f_{cs} = 53 MPa \quad \delta = 1 / (1 + 8 f_{cs} / f_{co})$$

$$f_{co} = 10 MPa = 1450 Psi$$

مطابق رابطه‌ی بالا مقدار نخ کرنش $64s^{-1} = 64$ می‌محاسبه می‌شود.
 $P_{max} \approx 1/3 MPa$, $\sigma = 5 MPa$, آنگاه $\epsilon = 4,5$ می‌محاسبه می‌شود و درنتیجه
 فشار بیشینه‌ی حاصل از آزمایش دینامیکی برای ترک برداشتن بتن
 $P_{max Dyn}$ برابر با $1/7$ مگاپاسکال حساب می‌شود؛ لذا با تقسیم بار دینامیکی بر با استاتیکی،
 مقدار عددی ضریب افزایش دینامیکی (DIF) حاصل می‌شود و داریم:

$$DIF = \frac{6/7}{1/3} = 5,15$$

نمخ کرنش نیز $66s^{-1} = 66$ خواهد بود. در جدول ۴ مجموعه‌ی نتایج حاصله برای اختلاط‌های مورد استفاده در آزمایش ارائه شده است. در این جدول مقادیر ضریب افزایش دینامیکی محاسبه و برای آزمایش‌های مختلف درج شده است.

۵. مقایسه‌ی نتایج به دست آمده با تحقیقات قبلی

نتایج حاصله از آزمایش‌ها در اثر بارگذاری انفجاری با نخ کرنش‌های 10^{-6} s^{-1} شده است. در این آزمایش‌ها استحکام کششی بتن در حالت استاتیکی بین $3,6$ تا 5 مگاپاسکال بود. مقایسه‌ی نتایج این آزمایش‌ها با نتایج حاصل از آزمایش‌های انجام شده توسط محققین^[۹] حاکی از مطابقت آنها با هم دارد.

همچنین نمودارهای حاصل از مدل سازی‌های انجام شده پیشین^[۷] با نتایج آزمایش‌های این پژوهش منطبق است، که میزان ضریب افزایش دینامیکی در بارگذاری کششی برای نخ کرنش $80s^{-1}$ برابر با $5/5$ به دست آمده است. از طرف دیگر، نخ کرنش‌های حاصل از آزمایش‌ها براساس مدل ارائه شده توسط مالوار^[۱] به دست آورده شده است. همانگ بودن این مدل با سایر کارهای تجربی، گواهی بر صحبت مدل ارائه شده توسط مالوار است. در شکل ۵ مقایسه‌ی کار انجام شده با نتایج کارهای قبلی آورده شده است.

برای به دست آوردن بهترین منحنی عبوری از میان داده عبارت است از:

$$z = 0,780 - 0,0971\sigma_y^t + 2,23S - 8,66 \quad (9)$$

که در آن t ضخامت سازه، S فاصله‌ی تکیه‌گاه‌ها σ_y^t ، تنש کششی سازه و z فاصله‌ی مقیاس‌بندی شده است. ستون آخر جدول ۷ که با حرف P نشان داده شده است معیاری برای سنجش میزان اثر هرکدام از ضرایب با احتمال ۹۵ درصد است که عدد کوچک تر بیان کننده‌ی شدت اثر آن ضریب است.

نتایج حاصله نشان می‌دهند که تأثیر تنش کششی بر روی مقدار نیروی مورد نیاز برای ترک خودن سازه کم است، زیرا ضریب تنش کششی کمتر است ولی فاصله‌ی بین تکیه‌گاه‌ها و ضخامت سازه بیشترین تأثیر را دارد. بنابراین تصمیم بر آن است که با استفاده از دو پارامتر «فاصله‌ی بین تکیه‌گاه‌ها» و «ضخامت سازه»، و نیز با استفاده از روش طراحی آزمایش‌ها به تحلیل ضرایب مؤثر در آزمایش‌های سری دوم پردازیم.

۲.۷. تحلیل نتایج حاصل از نرم‌افزار MINITAB آزمایش‌های سری دوم با نقاط میانگین

این آزمایش‌ها ابتدا بهوسیله‌ی قراردادن نقاط میانگین بهمنظور بررسی خطی یا غیرخطی بودن منحنی عبوری از داده‌ها، تحلیل می‌شود. در جدول ۸ نتایج حاصله از نرم‌افزار آورده شده است.

۱. چنان‌که مشاهده می‌شود، درجه‌ی دوم بودن منحنی عبوری از داده‌ها رد می‌شود زیرا $P=0,592$ مربوط به انحنای خیلی بزرگ است.

جدول ۵. آزمایش‌های سری دوم گروه اول.

| آزمایش | ماده منفجره | فاصله | فاصله تکیه‌گاه‌ها | Z | فشار اوج P | ملاحظات |
|----------|-------------|-------|-------------------|----------------|--------------|---------|
| | (kg) | (m) | (m) | $(m/kg)^{1/3}$ | (MPa) | |
| T-۴,۵-۱ | ۰,۰۳ | ۰,۲ | ۰,۲۴۵ | ۰,۵۲ | ۳,۵ | Cr. |
| T-۴,۵-۲ | ۰,۰۳ | ۰,۱۷ | ۰,۲۴۵ | ۰,۵ | ۳,۹ | Cr. |
| T-۴,۵-۳ | ۰,۰۳ | ۰,۱۸۵ | ۰,۲۴۵ | ۰,۵۴ | ۳,۳ | Cr. |
| T-۴,۵-۴ | ۰,۰۳ | ۱۰ | ۰,۱۵ | ۰,۲۸ | ۱۰,۲ | Cr. |
| T-۴,۵-۵ | ۰,۰۳ | ۱۱ | ۰,۱۵ | ۰,۳۰ | ۹ | Cr. |
| T-۴,۵-۶ | ۰,۰۳ | ۱۲ | ۰,۱۵ | ۰,۳۲ | ۸ | Cr. |
| T-۳-۷ | ۰,۰۳ | ۰,۲۷ | ۰,۲۴۵ | ۰,۷۸ | ۱۶ | Cr. |
| T-۳-۸ | ۰,۰۴ | ۰,۲۷۵ | ۰,۲۴۵ | ۰,۸ | ۱۵,۵ | Cr. |
| T-۳-۹ | ۰,۰۳ | ۰,۲۵۵ | ۰,۲۴۵ | ۰,۷۴ | ۱۹ | Cr. |
| T-۳-۱۰ | ۰,۰۳ | ۰,۱۵ | ۰,۱۵ | ۰,۴۳ | ۵ | Cr. |
| T-۳-۱۱ | ۰,۰۳ | ۰,۱۶ | ۰,۱۵ | ۰,۴۷ | ۴,۲ | Cr. |
| T-۳-۱۲ | ۰,۰۳ | ۰,۱۷ | ۰,۱۵ | ۰,۴۵ | ۴,۷ | Cr. |
| T-۴,۵-۱۳ | ۰,۰۳ | ۰,۲۲ | ۰,۲۴۵ | ۰,۶۴ | ۲,۵ | Not Cr. |
| T-۴,۵-۱۴ | ۰,۰۳ | ۰,۱۵۵ | ۰,۲۴۵ | ۰,۴۳ | ۵ | Dis. |
| T-۴,۵-۱۵ | ۰,۰۳ | ۰,۱۴ | ۰,۱۵ | ۰,۴ | ۵,۷ | Not Cr. |
| T-۴,۵-۱۶ | ۰,۰۳ | ۰,۰۸ | ۰,۱۵ | ۰,۲۲ | ۱۴ | Dis. |

جدول ۶. آزمایش‌ها سری دوم گروه دوم.

| آزمایش | ماده منفجره | فاصله | فاصله تکیه‌گاه‌ها | Z | فشار اوج P | ملاحظات |
|---------|-------------|-------|-------------------|----------------|--------------|---------|
| | (kg) | (m) | (m) | $(m/kg)^{1/3}$ | (Mpa) | |
| T-۳,۵-۲ | ۰,۰۳ | ۰,۲۱ | ۰,۲۴۵ | ۰,۶ | ۲,۷۸ | Cr. |
| T-۳,۵-۳ | ۰,۰۳ | ۰,۲۲ | ۰,۲۴۵ | ۰,۶۳ | ۲,۴۵ | Cr. |
| T-۳,۵-۴ | ۰,۰۳ | ۰,۱۲۵ | ۰,۱۵ | ۰,۳۷ | ۶ | Cr. |
| T-۳,۵-۵ | ۰,۰۳ | ۰,۱۱۵ | ۰,۱۵ | ۰,۳۵ | ۷,۱ | Cr. |
| T-۳,۵-۶ | ۰,۰۳ | ۰,۱۳ | ۰,۱۵ | ۰,۳۸ | ۶ | Cr. |
| T-۳,۵-۷ | ۰,۰۳ | ۰,۲۴۵ | ۰,۲۴۵ | ۰,۷۱ | ۱۹ | Not Cr. |
| T-۳,۵-۸ | ۰,۰۳ | ۰,۲۳۵ | ۰,۲۴۵ | ۰,۶۸ | ۲۲ | Not Cr. |
| T-۳,۵-۹ | ۰,۰۳ | ۰,۱ | ۰,۱۵ | ۰,۲۸ | ۱۰ | Dis. |

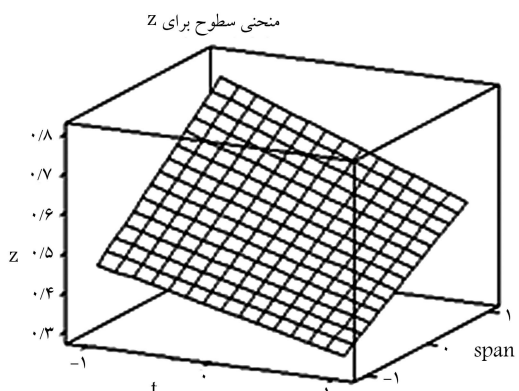
جدول ۷. نتایج تحلیل آزمایش‌های سری اول بهوسیله‌ی نرم‌افزار MINITAB.

| (۱) | | | | | | |
|----------|----------|----------|---------|--------|-------|--|
| Term | Effect | oef | SE Coef | T | P | |
| Constant | | ۰,۵۲۳۳ | ۰,۰۱۰۹۰ | ۴۸,۰۲ | ۰,۰۰۰ | |
| span | -۰,۱۹۰۰۰ | -۰,۰۹۵۰۰ | ۰,۰۱۰۹۰ | -۸,۷۲ | ۰,۰۰۰ | |
| t | ۰,۲۶۶۶۷ | ۰,۱۲۳۳۳ | ۰,۰۱۰۹۰ | ۱۲,۲۴ | ۰,۰۰۰ | |
| Span*t | -۰,۰۴۳۳۳ | -۰,۰۲۱۶۷ | ۰,۰۱۰۹۰ | -۱,۹۹ | ۰,۰۷۲ | |
| Ct Pt | -۰,۰۴۵۸۲ | ۰,۰۲۱۷۹ | -۲,۱۰ | ۰,۰۵۹۲ | | |

| (۲) | | | | | | |
|--------------------|----|----------|----------|----------|--------|--------|
| Source | DF | Seq SS | Adj SS | Adj MS | F | P |
| Main Effects | ۲ | ۰,۳۲۱۶۲۳ | ۰,۳۲۱۶۳۳ | ۰,۱۶۰۸۱۷ | ۱۱۲,۸۵ | ۰,۰۰ |
| ۲-Way Interactions | ۱ | ۰,۰۰۵۶۳۲ | ۰,۰۰۵۶۳۲ | ۰,۰۰۵۶۳۲ | ۳,۹۵ | ۰,۰۷۲ |
| Curvature | ۱ | ۰,۰۰۶۳ | ۰,۰۰۶۳۰۲ | ۰,۰۰۶۳۰۲ | ۴,۴۲ | ۰,۰۵۹۲ |
| Residual Error | ۱۱ | ۰,۰۱۵۶ | ۰,۰۱۵۶۷۵ | ۰,۰۱۴۲۵ | | |
| Pure Error | ۱۱ | ۰,۰۱۵۶۷ | ۰,۰۱۵۶۷۵ | ۰,۰۱۴۲۵ | | |
| Total | ۱۵ | ۰,۳۴۹۲۴۴ | | | | |

جدول ۷. نتایج تحلیل آزمایش‌های سری اول بهوسیله‌ی نرم‌افزار MINITAB.

| Predictor | Coef | SE Coef | T | P |
|-----------|------------|-----------------|-------|-------|
| Constant | ۰,۷۸۰۴۶ | ۰,۰۹۲۰۳ | ۸,۴۸ | ۰,۰۰۰ |
| sigma | -۰,۰۹۷۱ | ۰,۰۱۹۶۷ | -۴,۹۴ | ۰,۰۰۱ |
| span | ۲,۲۳۰۸ | ۰,۱۴۶۹ | ۱۵,۱۸ | ۰,۰۰۰ |
| t | -۸,۶۵۷ | ۱,۵۱۶ | -۵,۷۱ | ۰,۰۰۰ |
| S=۰,۰۲۲۹۲ | R-Sq=%۹۷,۸ | R-Sq(adj)=%۹۷,۱ | | |



شکل ۹. غیر مؤثر بودن اثر دو عامل به علت تخت بودن رویه‌ی حاصل.

چنان که پیش‌تر اشاره شد، تنش کششی بتن در مدل ارائه شده در رابطه‌ی ۹ کمترین تأثیر را دارد. بهمین دلیل آزمایش‌های سری دوم بدون در نظر گرفتن تنش کششی بتن مدل‌سازی شده‌اند و مدل حاصل از نرم‌افزار، که در آن ضریب هرکدام از فاکتورها آورده شده، عبارت است از:

$$z = 0,52233 + 0,09500t - 0,02167 \times s \quad (10)$$

۵. با افزایش ضخامت t ، فشار لازم برای تخریب سازه افزایش می‌یابد؛ به عبارت دیگر z کاهش می‌یابد زیرا علامت ضریب ضخامت منفی است (شکل ۸).

۶. افزایش فاصله بین تکیه‌گاه‌ها (s) منجر به افزایش z می‌شود، زیرا علامت ضریب فاصله بین تکیه‌گاه‌ها مثبت است (شکل ۸).

۷. اثر تعامل دو ضریب ضخامت و فاصله بین تکیه‌گاه‌ها خیلی کم است (شکل ۹).

۳.۷. تأیید مدل ناشی از تحلیل نرم‌افزار

مقایسه‌ی آزمایش‌های گروه دوم از سری دوم آزمایش‌ها بر روی مدل حاصل از نرم‌افزار، درصد خطای مدل را با آزمایش‌های تجربی نشان می‌دهد. نتایج این بررسی در جدول ۹ آورده شده است. با توجه به جدول ۱۰ درصد خطای بین مدل و آزمایش‌های تجربی بین ۹/۵ تا ۲۰ درصد محاسبه شده است که متوسط درصد

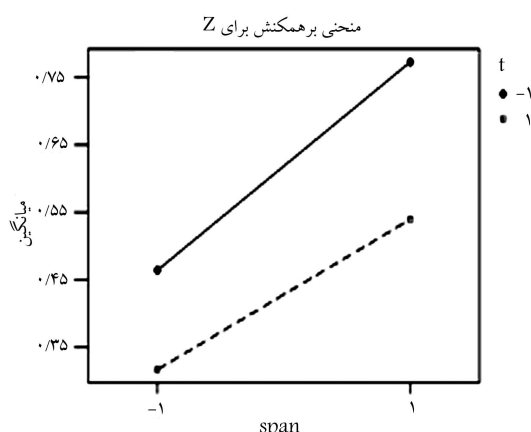
جدول ۹. مقایسه‌ی بین داده‌های تجربی و مدل حاصل از نرم‌افزار MINITAB

| آزمایش | ماده منفرجه | فاصله تکیه‌گاه‌ها | فاصله | Z (مدل) | Z (تجربی) | درصد خطای |
|---------|-------------|-------------------|-------|------------------|------------------|-----------|
| | (Kg) | (S) | (m) | ($m/kg^{1/3}$) | ($m/kg^{1/3}$) | (%) |
| T-۳/۵-۱ | ۰,۰۳ | ۰,۲۴۵ | ۰,۱۹۵ | ۰,۶۹ | ۰,۵۷ | ۲۰ |
| T-۳/۵-۲ | ۰,۰۳ | ۰,۲۴۵ | ۰,۲۱ | ۰,۶۹ | ۰,۶ | ۱۵ |
| T-۳/۵-۳ | ۰,۰۳ | ۰,۲۴۵ | ۰,۲۲ | ۰,۶۹ | ۰,۶۳ | ۹,۵ |
| T-۳/۵-۴ | ۰,۰۳ | ۰,۱۵ | ۰,۱۲۵ | ۰,۴۲ | ۰,۳۷ | ۱۳,۵ |
| T-۳/۵-۵ | ۰,۰۳ | ۰,۱۵ | ۰,۱۲ | ۰,۴۲ | ۰,۳۵ | ۲۰ |
| T-۳/۵-۶ | ۰,۰۳ | ۰,۱۵ | ۰,۱۳ | ۰,۴۲ | ۰,۳۸ | ۱۰ |

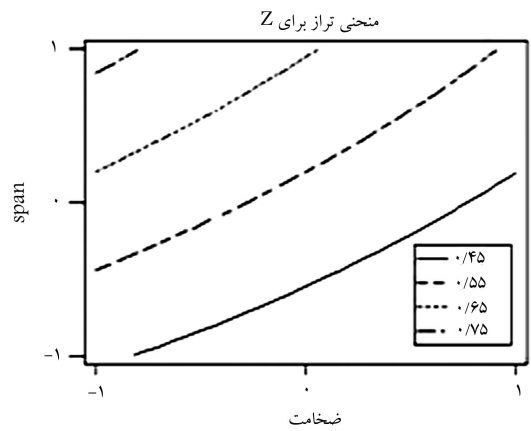
۲. فاصله‌ی بین تکیه‌گاه‌ها و ضخامت سازه با احتمال ۹۵ درصد بر میزان فشار وارده بر سازه تأثیر دارند و اثر تعامل آنها کم‌تر تأثیرگذار است.

۳. تعامل اثر دو ضریب بر یکدیگر خیلی کم است. این ادعا با داشتن مقدار $P=0,072$ برای اثر دو ضریب ثابت می‌شود. همچنین شکل‌های ۷، ۸ و ۸ نشان می‌دهند که خطوط تقریباً موازی حرکت کرده‌اند و در محدوده‌ی تعریف شده اثر دو ضریب نسبت به هم کم است. ضریب معادله‌ی مربوط به اثر دو ضریب چنان که در ستون سوم از جدول ۸ نشان داده شده است $t \times span$ برابر با $-0,02167$ است.

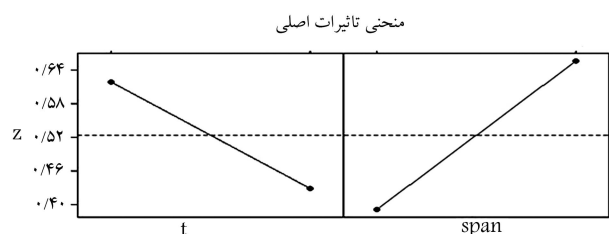
۴. در شکل ۷ مؤثربودن ضخامت و فاصله بین تکیه‌گاه‌ها، علاوه بر آن که در جدول ۸ نشان داده شده است، تأیید می‌شود.



شکل ۶. غیر مؤثر بودن اثر دو عامل.



شکل ۷. کم‌تر مؤثر بودن اثر دو عامل به علت نزدیک بودن منحنی‌ها به خط راست.



شکل ۸. تأثیر هرکدام از ضریب‌ها.

۵.۷. محاسبه‌ی نرخ کرنش برای سازه‌های بتونی

نرخ کرنش به عنوان عامل مؤثر در رفتار دینامیکی سازه‌ها و تغییر خواص مکانیکی مواد مطرح است و افزایش آن باعث افزایش حد تسليم ماده و برخی خواص مکانیکی مربوط به ماده می‌شود. در جدول ۱۱ نرخ کرنش مریوط به هر آزمایش داده شده و نتایج تحلیل‌ها نیز در نمودار شکل ۱۱ ارائه شده است.

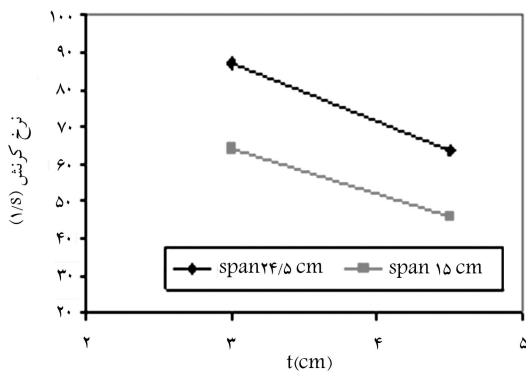
نمودار شکل ۱۱ نشان‌گر تأثیر ضخامت و فاصله‌ی تکیه‌گاه‌ها بر میزان نرخ کرنش است. با افزایش ضخامت و کاهش فاصله‌ی تکیه‌گاه‌ها، نرخ کرنش کاهش می‌یابد. مقادیر نرخ کرنش برای منطقه‌ی کششی، تقریباً نزدیک به نتایج حاصل از یافته‌های قبلی است. دلیل کاهش نرخ کرنش در اثر افزایش ضخامت، بالا رفتن زمان لازم برای گسیختگی در منطقه‌ی کششی است.

۶.۷. رابطه‌ی بین نرخ کرنش و ضریب افزایش دینامیکی

در بیشتر متابع مععتبر، تأثیر نرخ کرنش بر ضریب افزایش دینامیکی به صورت نمودارهایی بیان شده است. در این قسمت ضمن مقایسه‌ی این دو پارامتر، نتایج حاصله از این

جدول ۱۱. نحوه محاسبه نرخ کرنش برای سازه‌های بتونی.

| آزمایش | فاصله‌ی تکیه‌گاه‌ها (m) | Z | DIF = $\frac{\dot{\epsilon}}{\dot{\epsilon}_s} (DIF/\beta)^n$ | | |
|---------|----------------------------|------|---|-----------------------------|---|
| | | | | $\frac{P_{Dyn.}}{P_{Sta.}}$ | $P_{Sta.} = P_{Dyn.} = \frac{P_{Dyn.}}{P_{Sta.}}$ |
| T-۴,۵-۱ | ۰,۲۴۵ | ۰,۵۲ | ۴,۹ | ۶۴ | |
| T-۴,۵-۲ | ۰,۲۴۵ | ۰,۵ | ۵,۲ | ۷۷,۴ | |
| T-۴,۵-۳ | ۰,۲۴۵ | ۰,۵۴ | ۴,۴۷ | ۴۹ | |
| T-۴,۵-۴ | ۰,۱۵ | ۰,۲۸ | ۴,۸۶ | ۶۳ | |
| T-۴,۵-۵ | ۰,۱۵ | ۰,۳۰ | ۴,۲ | ۴۰ | |
| T-۴,۵-۶ | ۰,۱۵ | ۰,۳۲ | ۴ | ۳۵ | |
| T-۳-۷ | ۰,۲۴۵ | ۰,۷۸ | ۵,۴۵ | ۸۹ | |
| T-۳-۸ | ۰,۲۴۵ | ۰,۸ | ۴,۷۵ | ۵۹ | |
| T-۳-۹ | ۰,۲۴۵ | ۰,۷۴ | ۵,۹ | ۱۱۳ | |
| T-۳-۱۰ | ۰,۱۵ | ۰,۴۳ | ۵,۲ | ۷۷,۴ | |
| T-۳-۱۱ | ۰,۱۵ | ۰,۴۷ | ۴,۴۸ | ۵۰ | |
| T-۳-۱۲ | ۰,۱۵ | ۰,۴۵ | ۴,۹ | ۶۴,۸ | |



شکل ۱۱. تأثیر ضخامت و فاصله‌ی بین تکیه‌گاه‌ها بر نرخ کرنش.

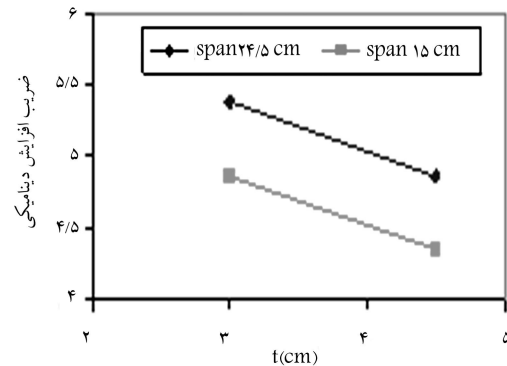
خطا برابر با ۱۵ درصد خواهد بود. این درصد خطا قابل پذیرش است و می‌تواند خیلی خوب باشد حاصل از نرم‌افزار مطابقت داشته باشد.

۴.۷. محاسبه‌ی ضریب افزایش دینامیکی (DIF)

با توجه به مقدار فشار استاتیکی در سازه‌های بتونی و مقدار فشار ناشی از انفجار برای تخریب سازه، نسبت بین فشارهای انفجاری به فشار استاتیکی بیان‌گر ضریب افزایش دینامیکی در سازه خواهد بود. در جدول ۱۰ این ضریب محاسبه شده، و در نمودار شکل ۱۰ تأثیر ضخامت و فاصله‌ی بین تکیه‌گاه‌ها بر روی مقادیر ضریب افزایش دینامیکی نشان داده شده است. چنان که مشاهده می‌شود با افزایش ضخامت و کاهش فاصله‌ی تکیه‌گاه‌ها ضریب افزایش دینامیکی کاهش می‌یابد.

جدول ۱۰. محاسبه‌ی ضریب افزایش دینامیکی در سازه‌ی بتونی.

| آزمایش | فاصله‌ی تکیه‌گاه‌ها (m) | Z | فشار انفجار استاتیکی (MPa) | DIF = |
|---------|----------------------------|------------------------|---|-------|
| | | (m/kg ^{1/2}) | $P_{Sta.} = P_{Dyn.} = \frac{P_{Dyn.}}{P_{Sta.}}$ (MPa) | |
| T-۴,۶-۱ | ۰,۲۴۵ | ۰,۵۲ | ۰,۷۵ | ۳,۷ |
| T-۴,۵-۲ | ۰,۲۴۵ | ۰,۵ | ۰,۷۵ | ۳,۹ |
| T-۴,۵-۳ | ۰,۲۴۵ | ۰,۵۴ | ۰,۷۵ | ۳,۳۵ |
| T-۴,۵-۴ | ۰,۱۵ | ۰,۲۸ | ۲,۱۶ | ۱۰,۵ |
| T-۴,۵-۵ | ۰,۱۵ | ۰,۳۰ | ۲,۱۶ | ۹ |
| T-۴,۵-۶ | ۰,۱۵ | ۰,۳۲ | ۲,۱۶ | ۸,۵ |
| T-۳-۷ | ۰,۲۴۵ | ۰,۷۸ | ۰,۳۳ | ۱,۸ |
| T-۳-۸ | ۰,۲۴۵ | ۰,۸ | ۰,۳۳ | ۱,۰۷ |
| T-۳-۹ | ۰,۲۴۵ | ۰,۷۴ | ۰,۳۳ | ۱,۹۵ |
| T-۳-۱۰ | ۰,۱۵ | ۰,۴۳ | ۰,۹۶ | ۵ |
| T-۳-۱۱ | ۰,۱۵ | ۰,۴۷ | ۰,۹۶ | ۴,۳ |
| T-۳-۱۲ | ۰,۱۵ | ۰,۴۵ | ۰,۹۶ | ۴,۷ |

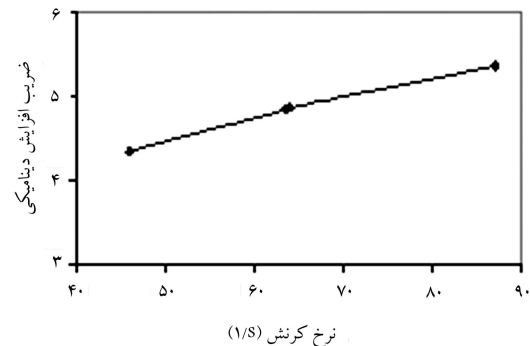


شکل ۱۰. تأثیر ضخامت و فاصله‌ی بین تکیه‌گاه‌ها بر روی ضریب افزایش دینامیکی.

حد تسلیم کششی بین ۴ تا ۵/۵ به دست آمده است. این نتیجه با نتایج حاصل از آزمایش‌های انجام شده‌ی قبلی مطابقت دارد^[۶] با مطالعات انجام‌گرفته در مورد نمودارهای ضریب افزایش دینامیکی بر حسب نرخ کرنش، نتایج حاصل از نمودار شکل ۱۲ نیز می‌تواند به عنوان یکی از نقاط جدید در آن نمودارها اضافه شود.

۸. نتیجه‌گیری

در این مقاله رفتار سازه‌های بتی، تحت شرایط بارگذاری دینامیکی و شبه استاتیکی، مورد مقایسه قرار گرفته و تفاوت‌های حاصله در آنها مورد بحث و بررسی قرار گرفته است. نتایج نشان می‌دهد که در اثر بارگذاری انفجاری میزان استحکام کششی ماده، برای نرخ کرنش‌های 1^{st} و 2^{nd} بین $۴/۵$ و ۸۰ s^{-1} ، بین ۶ s^{-1} و ۶۶ s^{-1} رفتاری در بتن در حالت دینامیکی، به عملت تبدیل شدن ترک‌های منفرد به ترک‌های گروهی است که باعث بالارفتن میزان انرژی لازم برای تخریب ماده می‌شوند. با توجه به نتایج به دست آمده در این پژوهش درخصوص بتن، می‌توان از این اطلاعات برای طراحی سازه‌های مهم راهبردی و بنای‌های مهم از جمله سدها، پل‌ها و... استفاده کرد.



شکل ۱۲. رابطه بین نرخ کرنش و ضریب افزایش دینامیکی.

تحقیق با آخرین نمودار ارائه شده توسط شولر^[۷] مقایسه خواهد شد. چنان‌که در نمودار شکل‌های ۶ و ۷ دیده می‌شود، با افزایش نرخ کرنش ضریب افزایش دینامیکی در حالت کششی افزایش یافته است. به عبارت دیگر افزایش نرخ کرنش ممکن است با بالا رفتن تنش تسلیم ماده همراه باشد. برای سازه‌ی بتی در منطقه‌ی کششی افزایش

پابلوشت

1. design of experiments
2. scaled distance
3. dynamic increase factor

منابع

1. Lambert, David E., and Ross, C. Allen. "Strain rate effects on dynamic fracture and strength", *International Journal of Impact Engineering*, **24**, pp. 985-998 (2000).
2. Malvar, L.; Javier, C., and John E. "Dynamic increase factors for concrete", Twenty-Eighth DDESB Seminar, Orland, FL (August 1998).
3. Ngo, T.D.; Mendis, P.A.; Teo, D., and Kusuma, G. "Behavior of high-strength concrete columns subjected to blast loading", University of Melbourne Australia (1999).
4. Grote, D.L.; Park, S.W., and Zhou, M. "Dynamic behavior of concrete at high strain rates and pressures: I. numerical simulation", *International Journal of Impact Engineering*, **25**, pp. 869-886 (2001).
5. Ragueneau, F., and Gatuingt, F. "Inelastic behavior modeling of concrete in low and high strain rate dynamics," *Computers and Structures*, **81**, pp. 1287-1299 (2003).
6. Sukontasukkul, P.; Nimityongskul, P., and Mindess, S." Effect of loading rate on damage of concrete", *Cement and Concrete Research*, **34**, pp. 2127-2134 (2004).
7. Lu, Y., and Xu, K. "Modeling of dynamic behavior of concrete materials under blast loading", *International Journal of Solids and Structures*, **41**, pp. 131-143 (2004).
8. Barpi, F. "Impact behaviour of concrete: a computational approach", *Engineering Fracture Mechanics*, **71**, pp. 2197-2213 (2004).
9. Schuler, H.; Mayrhofer, C., and Thoma, K. "Spall experiments for the measurement of the tensile strength and fracture energy of concrete at high strain rates", *International Journal of Impact Engineering*, **32**, (10), pp. 1635-1650 (2006).
10. Kinney, Gilbert F., and Graham, Kenneth J., "Explosive shocks in air", Second Edition, Springer-verlag, New York (1985).